

I) Conditions d'interférences

Rappels Ridge

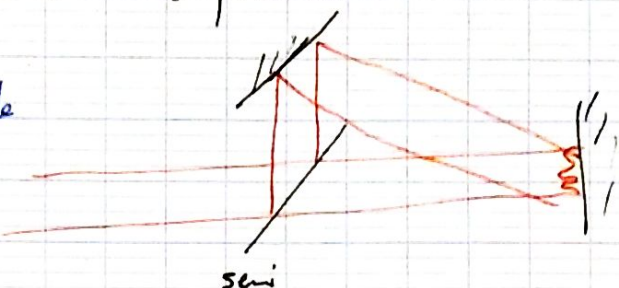


1) Observations expérimentales

Observation:

- Superposition de 2 sources laser $\Rightarrow \cancel{\phi}$ interférences
même si elles ont la même pulsat' ω

- Avec un disque d'onde



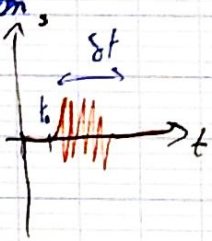
Hypothèses de travail

À mettre
en III

(retour sur le modèle après avoir vu la cohérence temporelle)

2) Modèle du train d'onde

Emission provoquée de la désexcitation d'un électron,
à un instant t_0 . Durée Δt finie



Pour un ensemble d'atomes: on a des sources de photons ayant toutes des phases différentes et amplitudes

Def τ_c le temps de cohérence = durée moyenne d'un train

Source monochromatique: $s(t) = A(t) e^{i(2\pi\nu_0 t + \Phi(t))}$

$$A(t) = \frac{1}{\tau_c} \int_{t-\tau_c/2}^{t+\tau_c/2} A(t') dt'$$

$$I = K \langle s^2(t) \rangle = I_0 + \frac{1}{2} K A_0 A_0 (\cos(\omega_0 \tau_c) + 1) + \langle \text{cohérence} \rangle$$

→ Deux ondes ne peuvent interférer que si elles appartiennent au même train d'onde $\cancel{\text{ssi}}$ à la même fréquence

Def $L_c = c \tau_c \Rightarrow$ interférence si $|\Delta| \ll L_c$

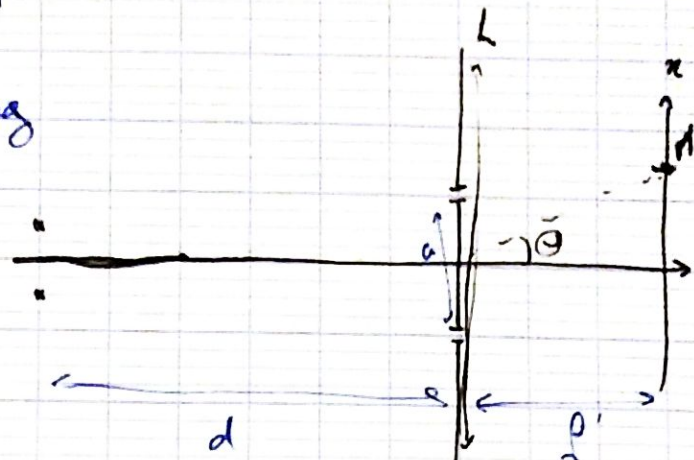
II) Cohérence spatiale : source non-punctuelle

1) Cas de 2 sources ponctuelles

Rappel: dispositif de fente de Young

Pour une source ponctuelle

$$\mathcal{E}(r) = 2\mathcal{E}_0 \left[1 + \cos\left(\frac{2\pi}{\lambda} \left(\frac{ax_s}{d} + \frac{az}{f'} \right)\right) \right]$$



Pour 2 sources primaires incohérentes
(de même intensité)

$$\begin{aligned} \mathcal{E}(r) &= \mathcal{E}_1(r) \cdot \mathcal{E}_2(r) = 2\mathcal{E}_0 \underbrace{\left[1 + \cos\left(\frac{2\pi}{\lambda} a \left(\frac{x_{s1}}{d} + \frac{z}{f'} \right)\right) \right]}_{\mathcal{E}_1} \underbrace{\left[1 + \cos\left(\frac{2\pi}{\lambda} a \left(\frac{x_{s2}}{d} + \frac{z}{f'} \right)\right) \right]}_{\mathcal{E}_2} \\ &= 4\mathcal{E}_0 \left[1 + \cos\left(\frac{\phi_1 - \phi_2}{2}\right) \cos\left(\frac{\phi_1 + \phi_2}{2}\right) \right] \end{aligned}$$

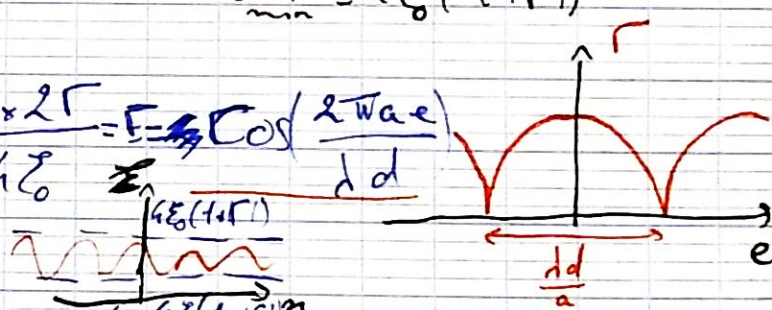
$$\mathcal{E}_{\max} = 4\mathcal{E}_0 (1 + |\Gamma|) \quad \text{REC09}$$

$$I_{\min} = 4\mathcal{E}_0 (1 - |\Gamma|)$$

2) Contraste

Γ indép de z

$$\text{Contraste : } C = \frac{\mathcal{E}_{\max} - \mathcal{E}_{\min}}{\mathcal{E}_{\max} + \mathcal{E}_{\min}} = \frac{4\mathcal{E}_0 \cdot 2\Gamma}{4\mathcal{E}_0 \cdot 2\Gamma} = \Gamma = \cos\left(\frac{2\pi a e}{\lambda d}\right)$$



3) Application : détermination de la distance entre 2 étoiles

On fait varier la distance entre les fentes

On considère 2 étoiles séparées de e
à une distance d de la Terre

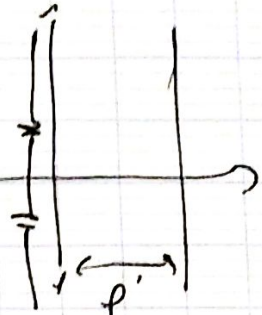
On fait varier la distance entre les trous

3) Source élargie

- on considère une source de taille L et d'intensité totale I_0

- on considère l'intensité uniforme

- on considère donc une infinité de sources de longeur dx , incohérentes entre elles
 $\Rightarrow dI = \frac{I_0}{L} dx$ incohérents et $dI(I) = 2dI_0 \left[1 + \cos \left(\frac{2\pi}{\lambda} a \left(\frac{x_c}{d} + \frac{x}{p_1} \right) \right) \right]$



$$I_{tot}(x) = \int_{source} dI(x) = \int_{-\frac{L}{2}}^{\frac{L}{2}} 2 \frac{I_0}{L} \left[1 + \cos \left(\frac{2\pi}{\lambda} a \left(\frac{x_c}{d} + \frac{x}{p_1} \right) \right) \right] dx$$

$$= \frac{2I_0}{\lambda} \frac{L}{2} + 2I_0 \operatorname{sinc} \left(\frac{2\pi a L}{\lambda d} \right) \cos \left(\frac{2\pi a x_c}{\lambda p_1} \right)$$

$$I_{tot} = L I_0 \underbrace{\left[1 + \operatorname{sinc} \left(\frac{\pi a L}{\lambda d} \right) \cos \left(\frac{2\pi a x_c}{\lambda p_1} \right) \right]}_{f}$$

On retrouve une modulation globale

Rmq - Le problème de source ponctuelle se pose pour les fentes de Young

(\rightarrow division du front d'onde)

Pas pour le Michelson

division d'amplitude et dépend de l'angle d'incidence et du temps de parcours dans le Michelson

slide

III Cohérence temporelle : source polychromatique

1) Cas d'une source constituée d'un doublet de longueurs d'onde

On reprend une source particulière

On considère une source dont le spectre est composé de 2 longueurs d'onde λ_1 et λ_2

$$\text{On note } \lambda_m = \frac{\lambda_1 + \lambda_2}{2} \quad \Delta\lambda = \lambda_2 - \lambda_1$$

$$\text{Cas général : } I(\lambda) = 2I_0 \left[1 + \cos\left(\frac{2\pi}{\lambda} \delta(\lambda)\right) \right]$$

$$\Rightarrow I_{\text{tot}}(\lambda) = I_1(\lambda) + I_2(\lambda) = 2I_0 \left[1 + \cos\left(\frac{2\pi}{\lambda_1} \delta_1\right) \right] + 2I_0 \left[1 + \cos\left(\frac{2\pi}{\lambda_2} \delta_2\right) \right]$$

$$\left. \begin{aligned} \frac{1}{\lambda_1} - \frac{1}{\lambda_2} &= \frac{\lambda_2 - \lambda_1}{\lambda_1 \lambda_2} \approx \frac{\Delta\lambda}{\lambda_m^2} \\ \frac{1}{\lambda_1} + \frac{1}{\lambda_2} &\approx \frac{2}{\lambda_m} \end{aligned} \right\} \Rightarrow I_{\text{tot}}(\lambda) = 4I_0 \left[1 + \cos\left(\frac{2\pi \Delta\lambda}{\lambda_m^2} \delta(\lambda)\right) \cos\left(\frac{2\pi}{\lambda_m} \delta(\lambda)\right) \right]$$

Figure de base avec le contraste modulé

$$C(\lambda) = \left| \cos\left(\frac{2\pi \Delta\lambda}{\lambda_m^2} \delta(\lambda)\right) \right|$$

2) Mesure du doublet du sodium

$$\text{Michelson : } \delta(\lambda) \approx 2e \cos(\theta) \sim 2e$$

lame d'air

mesure réalisée avec un photodétecteur au foyer de une lentille de sortie

On translate arche d'interférence : $p_2 - p_1 = \frac{2e}{\lambda} \frac{\Delta\lambda}{\lambda_m^2} = \frac{2e \Delta\lambda}{\lambda_m^3}$
à une annulation $p_2 - p_1 = 2e \left(\frac{1}{\lambda_1} - \frac{1}{\lambda_2} \right) \approx 2e \frac{\Delta\lambda}{\lambda_m^2} = \frac{2e \Delta\lambda}{\lambda_m^3}$

$$\text{CPL après translation} \quad p_2 - p_1 = 2e \frac{\Delta\lambda}{\lambda_m^2} = N \frac{2e \Delta\lambda}{\lambda_m^3}$$

Résonance

$$\Rightarrow \Delta\lambda = \frac{N \lambda_m^3}{2e} \quad \lambda_m = 593 \text{ nm}$$

$$\Delta\lambda = 6,0 \cdot 10^{-10}$$